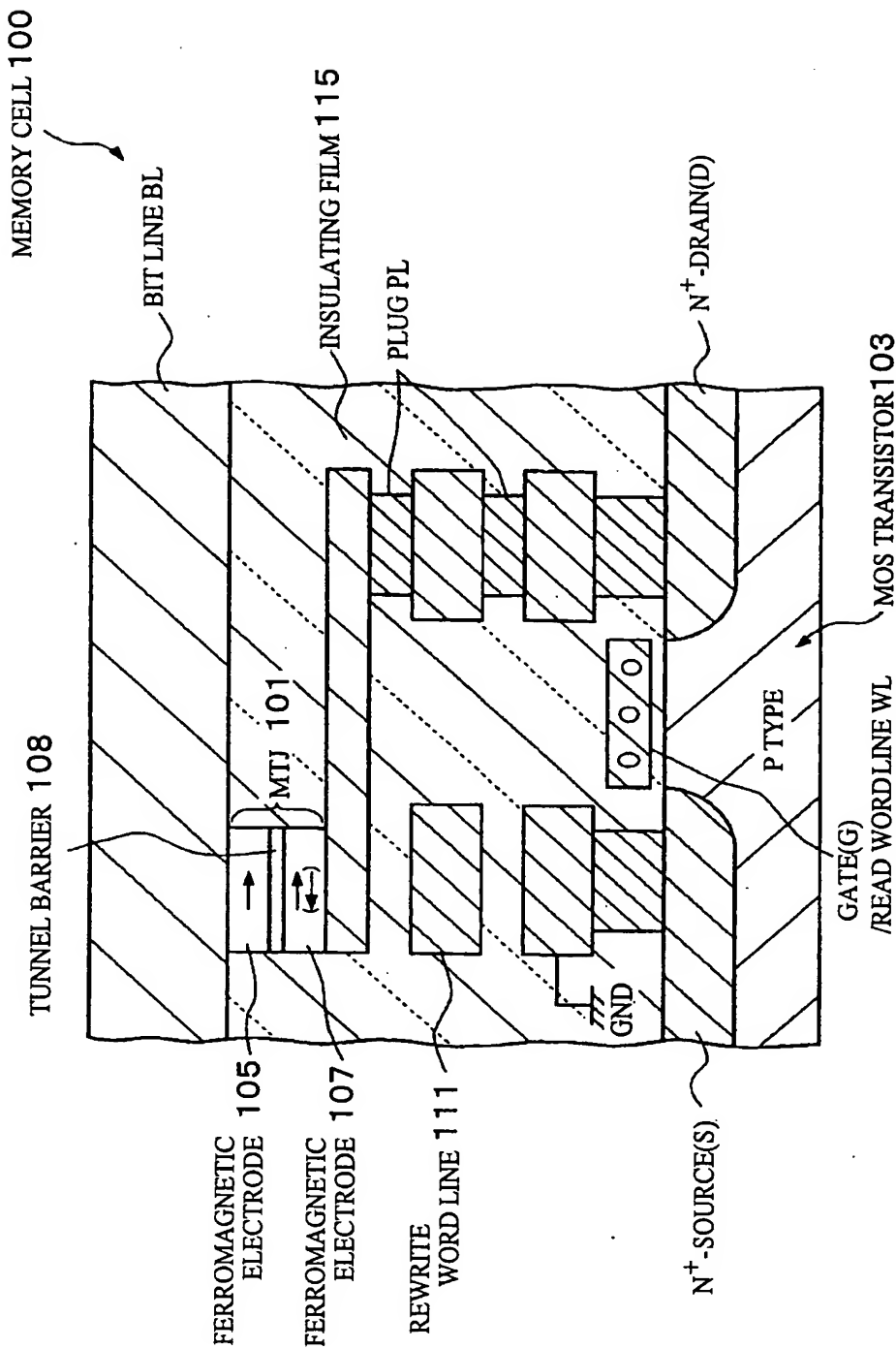


FIG. 8



Related Art

FIG. 9

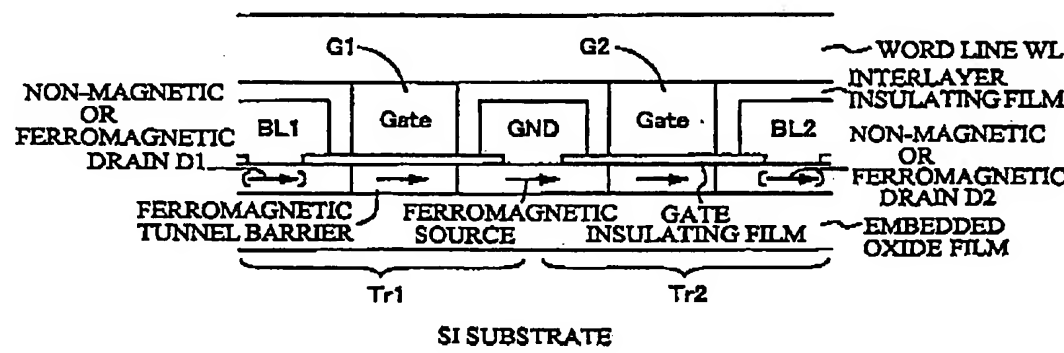


FIG. 10

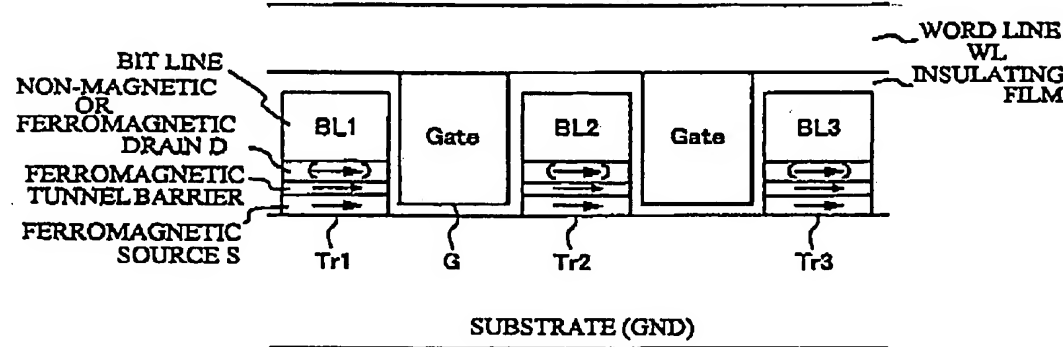


FIG. 11A

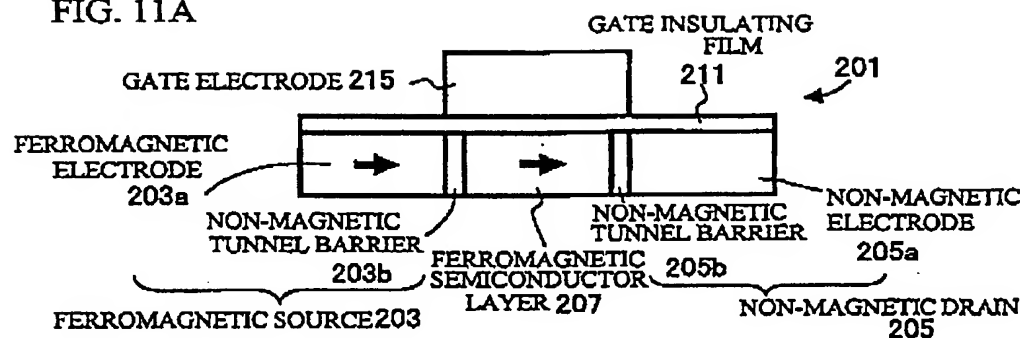


FIG. 11B

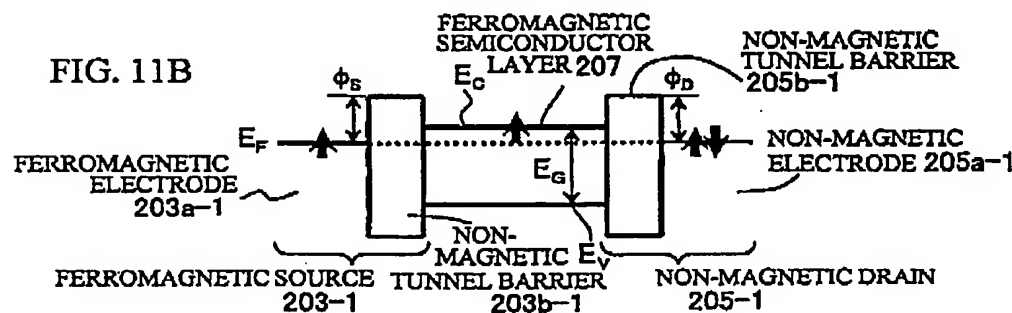


FIG. 11C

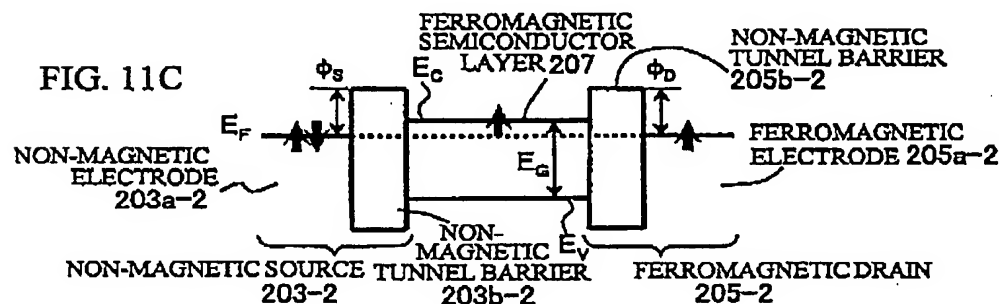


FIG. 11D

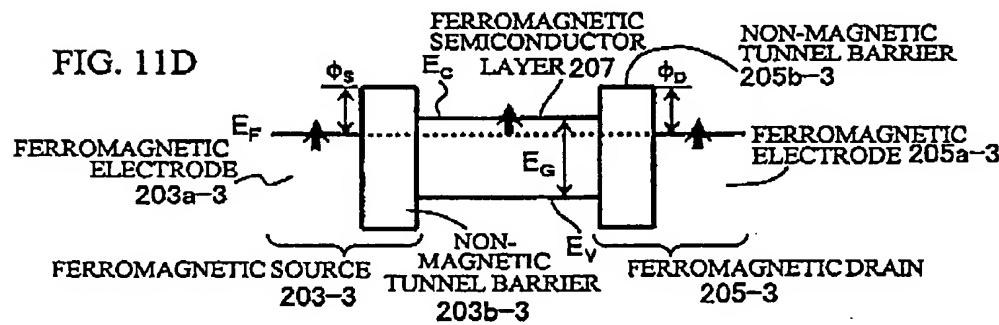


FIG. 12A

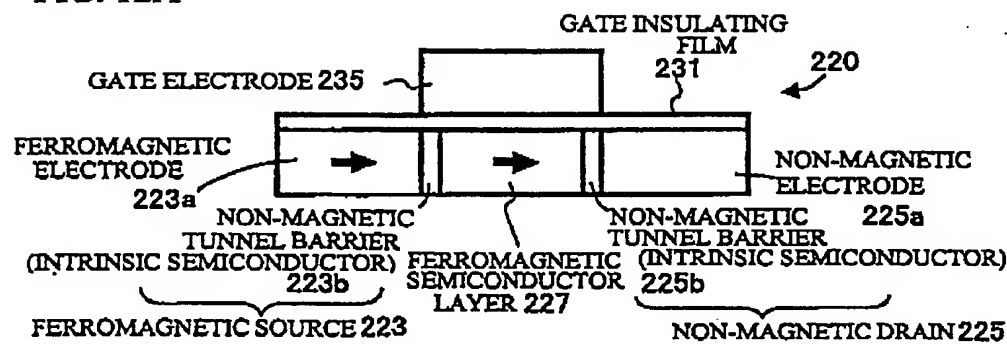


FIG. 12B

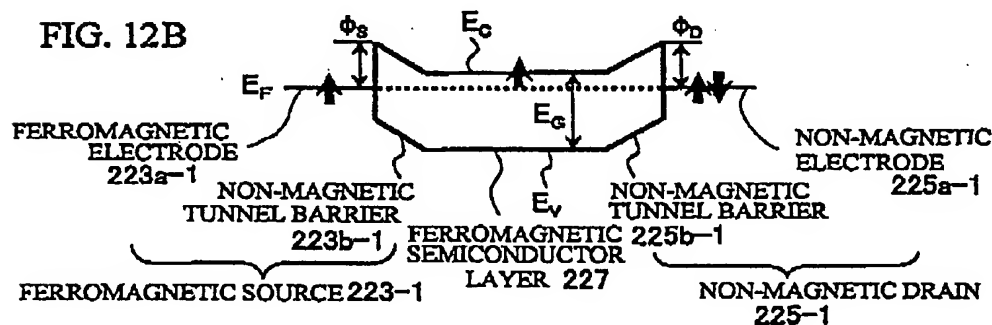


FIG. 12C.

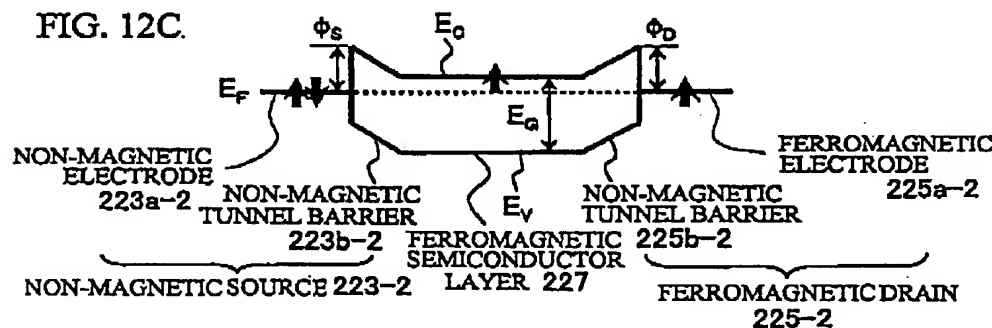
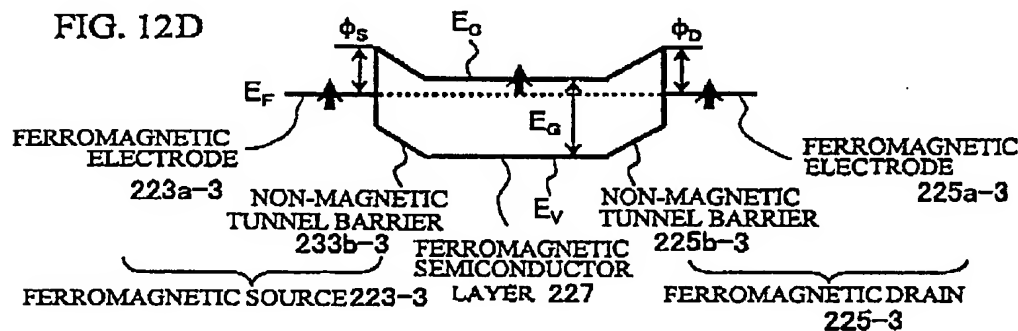


FIG. 12D



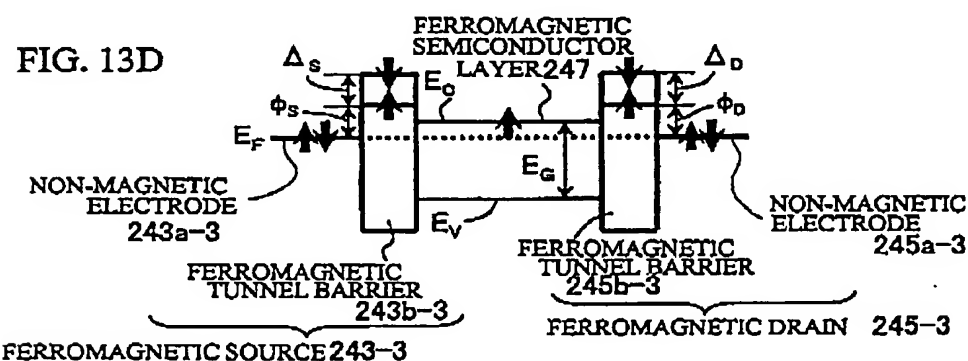
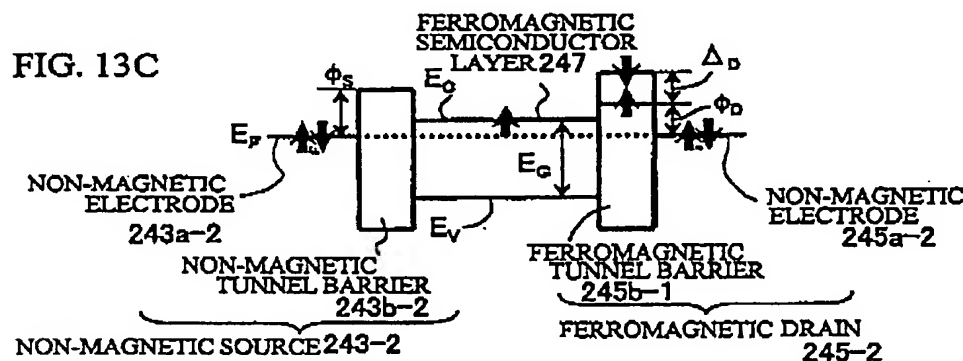
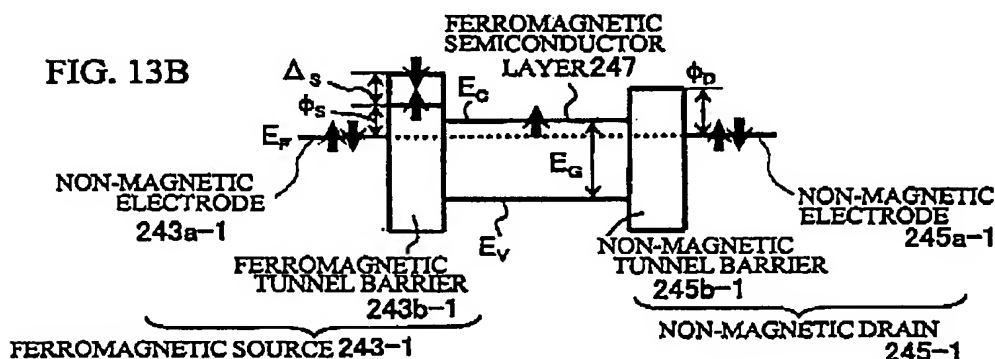
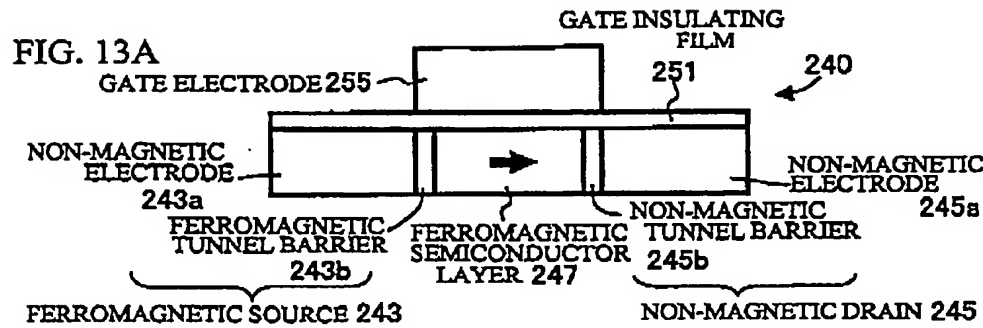


FIG. 14A

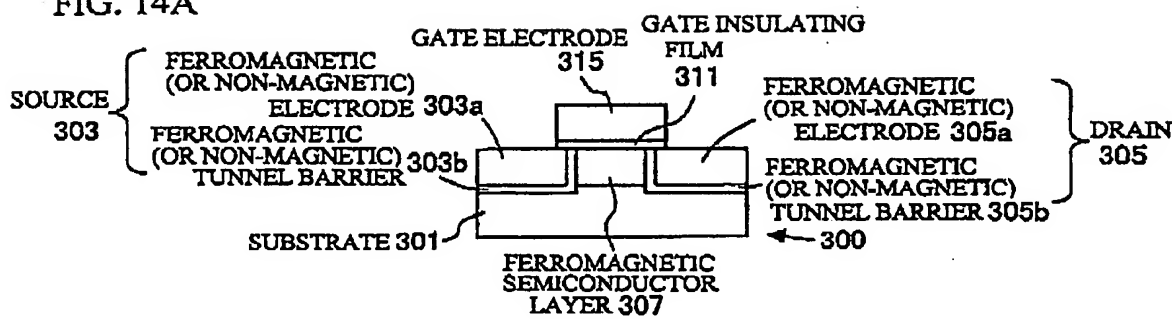


FIG. 14B

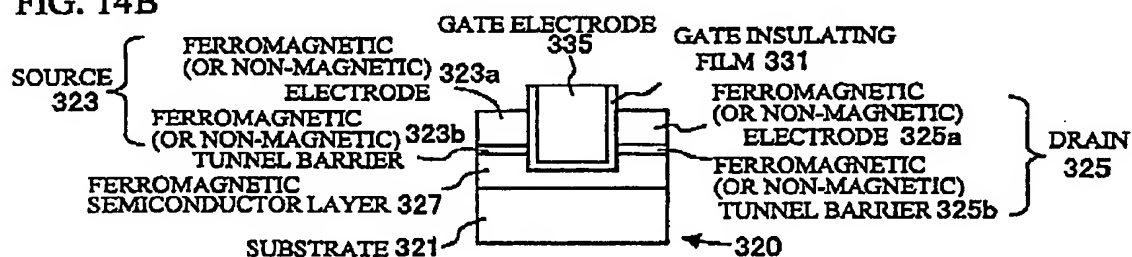


FIG. 14C

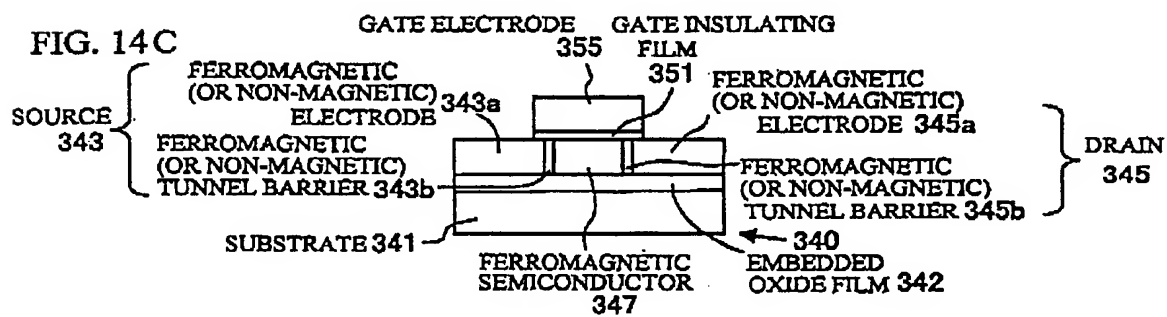


FIG. 14D

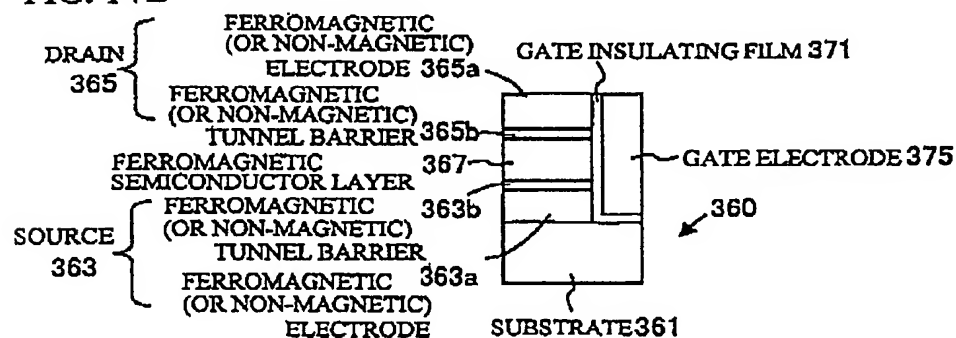


FIG. 15A

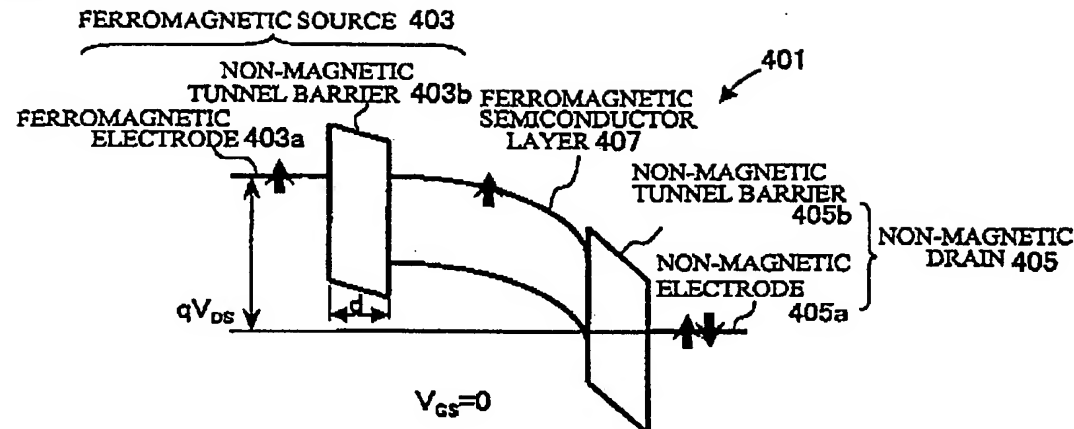


FIG. 15B

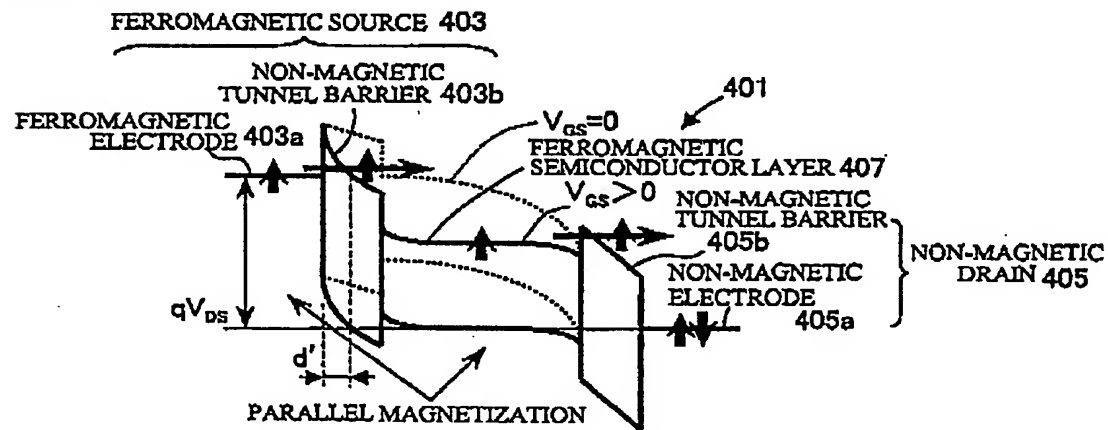


FIG. 15C

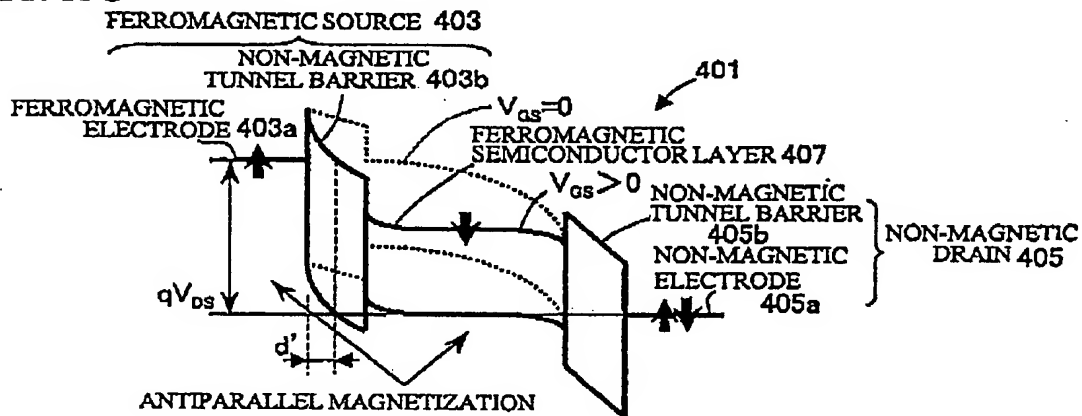




FIG. 16A
FERROMAGNETIC SOURCE 423

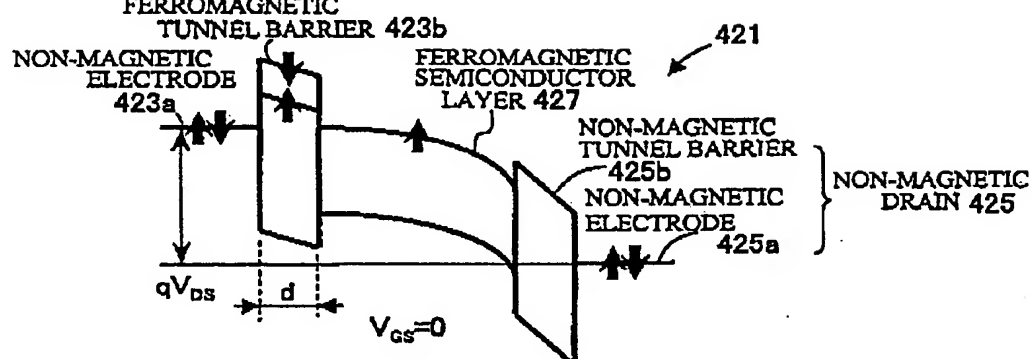


FIG. 16B
FERROMAGNETIC SOURCE 423

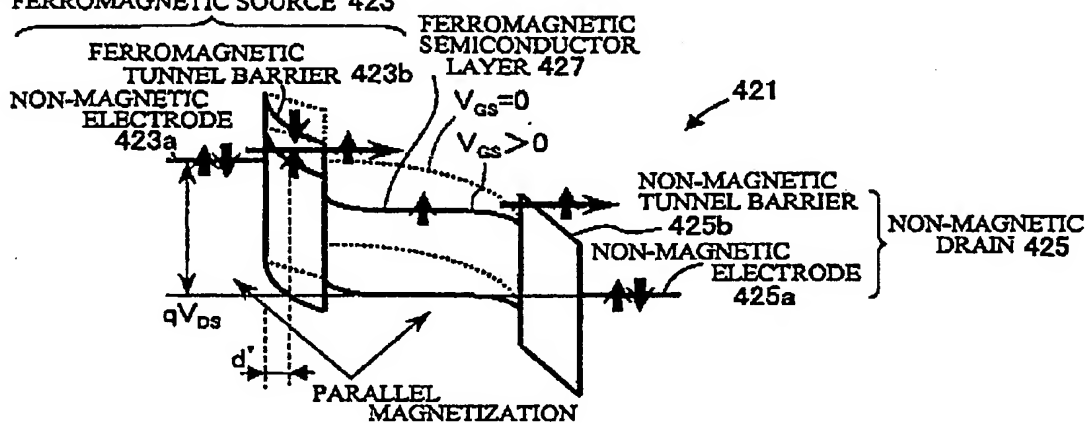


FIG. 16C

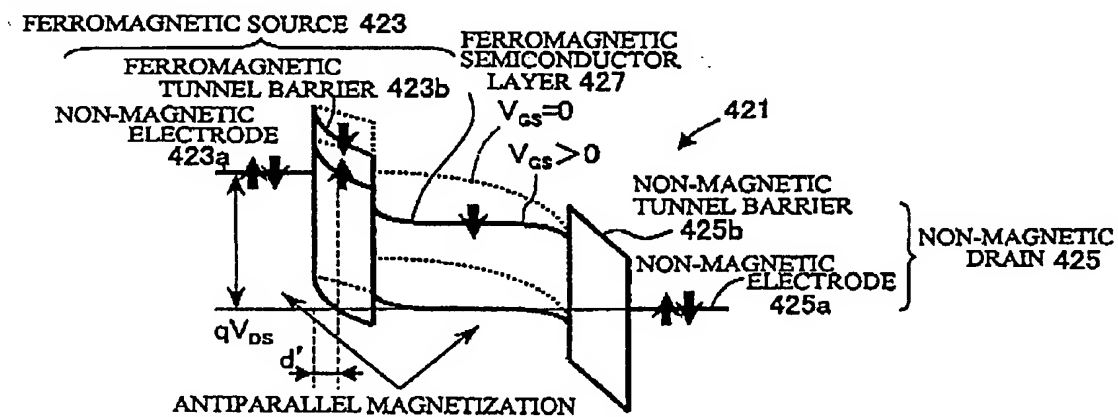




FIG. 17

